

# Cordierite의 合成 및 耐火匣製造에 관한 研究

池應業 · 崔福旭 · 金光鎬\*

仁荷大學校 窯業工學科

(1975年 8月 19日 接受)

## Synthesis of Cordierite and Preparation of Refractory Setter

### from Domestic Raw Materials

Ung-up Chi, Sang-Wook Choi and Kwang-Ho Kim

Department of Ceramic Engineering, Inha University

(Received August 19, 1975)

#### ABSTRACT

In order to obtain the superior refractory setter having better spalling resistance, cordierite was synthesized from domestic raw materials.

Raw mixtures were fired between 1250°C and 1400°C. and qualitative determination of crystallization was investigated by x-ray diffraction analysis.

The results obtained are as follows;

1). The optimum batch composition of synthesized cordierite is 80.5% of Hadong kaolin (pink), 14% of Kyulsung tromolite talc and 5.5% of magnesia clinker, and the firing temperature is 1375°C.

2). The composition of the refractory setter which exhibits the best values for the thermal properties is 40% of synthesized cordierite, 30% of kaolin chamotte (contains more than 60% of mullite), and 30% of Japanese clay.

3). the optimum particle size distribution of ternary mixture consists of 50% of coarse particles (3.327-1.168 mm), 25% of intermediate particles (1.168-0.208mm) and 25% of fine particles (0.208-0.000mm).

### 1. 緒 論

일반적으로 cordierite는 낮은 熱膨脹性 때문에 熱衝擊에 강한 特徴을 가지고 있는 窯業原料로서<sup>1-3)</sup> 그 燒成 온도범위가 좁다는 것이 대단히 불리한 조건으로 알려져 있다.<sup>4)</sup> 즉 未燒하면 낮은 熱膨脹係數와 熱衝擊抵抗性이 큰 cordierite 結晶이 충분히 생성되지 않고, 這燒하면 結晶화된 cordierite가 분해되어 forsterite, spinel 및 mullite 등이 생성되기 때문이다.<sup>5)</sup>

그러나 이러한 좁은 燒成범위를 극복한 添加劑를 사용하여 MgO-Al<sub>2</sub>O<sub>3</sub>-SiO<sub>2</sub>系에서 cordierite 생성영역의

燒成 온도범위를 調節함으로써 要求되는 cordierite를 合成할 수가 있다<sup>6-10)</sup> 즉 zircon 5~20%를 添加하여 材料의 熱衝擊抵抗性이나 熱膨脹에 영향을 미치지 않고 燒成 온도범위를 크게 증가시킬 수 있으며<sup>6)</sup> 또 alumina 함량을 증가시킴에 따라 熱膨脹係數를 감소시키며 燒成 온도범위를 높일 수 있다.<sup>6)</sup>

또한 ZnO, Pb<sub>3</sub>O<sub>4</sub><sup>6)</sup>, PbSiO<sub>3</sub>, BaCO<sub>3</sub>,<sup>7)</sup> Fe<sub>2</sub>O<sub>3</sub>,<sup>8)</sup> 및 feldspar, beryl, spodumene, nepheline synte<sup>9)</sup> 등과 같은 融劑를 添加하여 보다 낮은 온도에서 合成할 수 있다고 보고되었다.

Beals와 Cooke<sup>3)</sup>은 x-ray 回折分析에 의하여 cordierite 생성영역 부근의 組成에 대한 結晶의 定量的 關係를 연구한 동시에 그 熱膨脹性を 조사하였다.

\* 仁荷大學校 化學工學科

이상과 같이 cordierite 합성에 관한 많은 연구가 발표되었으나<sup>1-2)</sup> 이것을 이용한 mosaic tile 용 耐火匣 제조에 관한 연구는 그다지 많지 않다.

현재 국내 陶磁器 공장에서 사용되고 있는 wall tile 및 mosaic tile 용 耐火匣은 耐熱衝擊성이 좋지 않기 때문에 사용 壽命이 짧아서 기술적인 隘路點으로 되어 있으며 일부 공장에서는 輸入된 cordierite 素地를 사용하고 있다.

본 연구는 이상과 같은 연구들에 기초를 두어 국산 原料를 이용하여 낮은 熱膨脹性과 熱衝擊에 강한 結晶 cordierite 를 合成하였고 耐熱衝擊抵抗性, 耐火度 및 熱間壓縮強度가 비교적 높은 mullite<sup>3)</sup>를 調合하여 wall tile 뿐 아니라 특히 mosaic tile 제조에 사용되는 耐熱衝擊抵

抗性이 큰 cordierite-mullite 質 耐火匣 제조를 시도 하였다.

2. 實驗方法, 結果 및 考察

2-1 實驗(I) Cordierite 合成

2-1-1 原料

사용된 原料는 MgO 源으로 結成 talc 와 海水 magnesia clinker 를 選擇하였고, Al<sub>2</sub>O<sub>3</sub> 源으로는 河東 kaolin (pink) 및 公업용 alumina(日産)를 採하였다. 사용 原料는 KS L 3120에 의하여 化學分析을 하였고 KS L 3113 과 KS L 3114 에 의하여 耐火度 및 比重을 각각 측정하였다. 그 化學적 組成과 物理的 性質은 Table 1 과 같다.

Table 1. Chemical compositions and physical properties of raw materials.

Sample	Composition	Ig. loss (%)	SiO <sub>2</sub> (%)	Al <sub>2</sub> O <sub>3</sub> (%)	Fe <sub>2</sub> O <sub>3</sub> (%)	CaO (%)	MgO (%)	True Sp. Gr.	S K
Hadong kaolin		13.18	44.25	40.20	1.10	0.81	0.42	2.47	35
Kyulsung talc		4.54	58.07	1.39	0.54	6.06	29.33	2.83	12
Magnesia clinker		1.14	2.50	0.20	0.45	4.65	90.44	2.84	—
Alumina		—	—	98	—	—	—	—	—

2-1-2. 調合 및 成形

선택된 原料를 磁製 ball mill에서 48시간 粉碎하여 Tyler 標準篩 325 mesh 를 全通시킨 것을 110°C에서 含水量이 되도록 乾燥하여 사용했다.

cordierite 를 合成하기 위한 原料의 調合은 cordierite 理論組成인 2MgO·2Al<sub>2</sub>O<sub>3</sub>·5SiO<sub>2</sub>에 거의 일치하도록 하였으나 燒成은도범위를 넓히기 위하여 Al<sub>2</sub>O<sub>3</sub> 및 MgO 함량을 增加하였으며 配合組成(wt%)은 Table 2와 같다.

Table 2. Batch compositions of synthetic cordierite.

Batch group	Composition (%)			
	Talc	Magnesia clinker	Kaolin	Alumina
KT	36.7	—	63.3	—
KTA	43	—	41	13
KTM	20.6	7.2	72	—
KTN	14	5.5	80.5	—

이상과 같이 原料를 調合한 다음 磁製 ball mill에서 24시간 混合한 후에 8%의 물을 添加하여 disc 形으로 加壓成形하여 110°C에서 含水量이 되도록 乾燥 하였다. 이때 成形壓은 200kg/cm<sup>2</sup> 이었고 disc의 크기는 지름 28.6mm, 높이 10mm 로 하였다.

2-1-3. 燒成

乾燥된 試片은 Global 電氣에서 Table 3에 나타낸 바와 같이 燒成은도범위를 1250°C~1100°C로 경하고 1250°C까지 7시간이 도달 시키고 각 試片은 각각 2시간씩 유지시켰다.

Table 3. Firing temperatures.

KT	Group of specimens			Temperature (°C)
	KTA	KTM	KTN	
KT-1	KTA-1	KTM-1	KTN-1	1250
KT-2	KTA-2	KTM-2	KTN-2	1275
KT-3	KTA-3	KTM-3	KTN-3	1300
KT-4	KTA-4	KTM-4	KTN-4	1325
KT-5*	KTA-5	KTM-5	KTN-5	1350
—	KTA-6*	KTM-6*	KTN-6	1375
—	—	—	KTN-7*	1400

\* deformed

2-1-4. 燒成收縮

燒成한 각 試片들에 대하여 燒成收縮率을 측정하였다. 이때 길이측정에는 1/20mm까지 잴수 있는 Caliper rule을 사용하였으며 처음 길이에 대한 백분율로 나타내었다.

2-1-5. X-ray 分析

燒成된 試片에 대하여 合成 cordierite의 生成량은 X-ray Peak Intensity를 비교하는 半定量的 方法을 택 하였다. X-ray 回折에는 Shimadzu diffractometer를 사용하였다.

2-1-6. 實驗結果 및 考察(I)

각 試片에 대한 燒成收縮率은 Fig. 1에 나타내었다. 이 그림에서 각 試片은 온도 상승에 따라 점차적으로 收縮이 증가하였으며 Table 3의 原料配合比로 나타낸 KT, KTA, KTM, 및 KTN 등의 각 試片중에서 KT-5는 1350°C, KTA-6 및 KTM-6은 1375°C, KTN-7은 1400°C에서 각각 유리相으로 나타났다. 또 X-ray 回折分析結果는 각 試片群중에서 peak intensity가 가장 높은 것은 KT-4, KTA-5, KTM-5 및 KTN-6만을 골라 Fig. 2에 나타내었고 이들중 peak intensity가 가장 높은 것은 KTN-6이었으며 이것을 선택하여 1250°C~1400°C 범위에서 燒成한 試片의 X-ray 回折分析結果는 Fig. 3에 나타내었다. 참고로 日本産 및 國産 合成 cordierite의 peak intensity와 비교하여 보았다. 이 그림에서 燒成 온도가 증가됨에 따라 X-ray peak intensity는 점차적으로 높아졌으나 유리相으로 변할 때는 peak intensity는 감소하는 경향을 보여주었으며 이것은 Beals와 cooke<sup>3)</sup>의 연구結果와 유사하였다.

cordierite 合成時 alumina<sup>6)</sup> 함량을 증가시키면 燒成 온도가 높아졌고 結晶生成도 증가하는 경향을 나타내

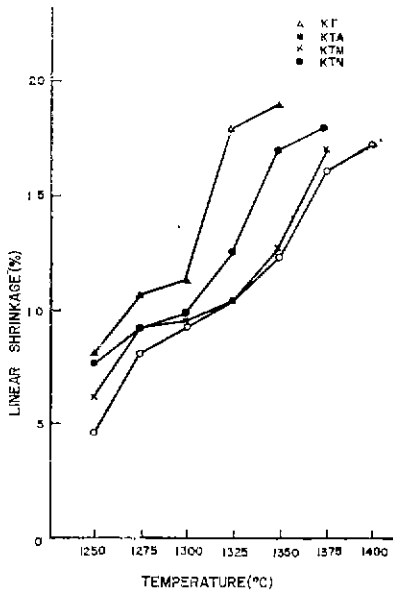


Fig. 1. Firing shrinkage occurred in cordierite synthesis.

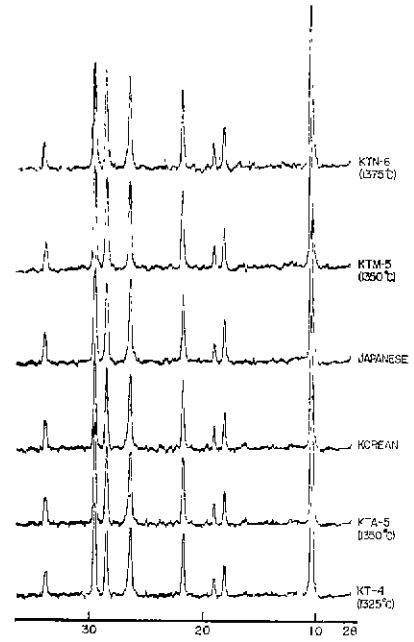


Fig. 2. X-ray diffraction patterns of synthetic cordierite comparing with others.



Fig. 3. X-ray diffraction patterns of KTN specimens.

었다.

2-2. 實驗(II) Cordierite-Mullite 質 耐火匣製造

2-2-1. 原料

1). Cordierite

Cordierite 는 實驗(I)에서 X-ray 回折分析上으로 合成結果가 가장 좋다고 생각되는 KTN-6를 택하였다.

2) Mullite

비교적 mullite 含量이 풍부한 靑州 kaolin chamotte<sup>26)</sup>를 택하였으며 이것의 X-ray 回折圖와 化學組成은 각각 Fig. 4 및 Table 4와 같다.

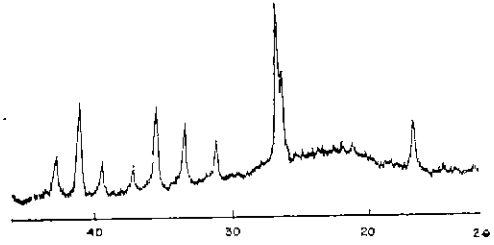


Fig. 4. X-ray diffraction pattern of Jin-Ju kaolin chamotte.

Table 4. Chemical compositions and physical properties of Jin-Ju kaolin chamotte.

Composition Sample	Ig. loss (%)	SiO <sub>2</sub> (%)	Al <sub>2</sub> O <sub>3</sub> (%)	Fe <sub>2</sub> O <sub>3</sub> (%)	CaO (%)	MgO (%)	True Sp. Gr.	S K
Kaolin Chamotte	1.21	52.00	45.01	1.71	tr	0.10	2.69	36

3) 結合材 및 融劑

結合材 및 融劑를 선택하기 위하여 河東 kaolin (A, B)\*, 咸平粘土, 梧釜粘土, 木節粘土, 鴻容粘土 및 結

域 Talc 등 8種의 原料에 대하여 化學成分 및 物理的性質(容比重, 收縮率, 耐火度 및 熱間強靱等)을 조사하였다. 특히 Thermo Lab. dilatometer를 사용하더

Table 5. Chemical composition of plastic raw materials.

Composition (%) Sample	Ig. Loss	SiO <sub>2</sub>	Al <sub>2</sub> O <sub>3</sub>	Fe <sub>2</sub> O <sub>3</sub>	CaO	MgO
Hadong kaolin (A)	13.70	47.36	41.01	3.52	0.10	0.10
" " (B)	13.18	44.25	40.20	1.10	0.81	0.42
Kyulsung talc	4.54	58.07	1.39	0.56	6.06	29.33
Hampyung clay	14.34	50.83	32.63	1.90	0.15	0.10
Oh-bu "	12.13	48.30	34.61	4.65	0.25	1.16
Kyochon "	10.31	52.23	23.92	2.55	tr.	0.54
Kibushi "	15.14	47.03	35.13	2.60	tr.	0.10
Hong Kong "	16.28	49.11	33.23	1.32	tr.	0.12

Table 6. Physical properties of plastic materials.

Properties Sample	True Sp. Gr.	Linear shrinkage (%)	S K	Hot strength (kg/cm <sup>2</sup> )	Appearance	
					Spalling	Deformation after hot strength test
Hadong kaolin (A)	2.52	10.59	33	67.03	broken	slight
" " (B)	2.47	13.01	35	67.21	—	intermediate
Kyulsung talc	2.83	4.74	12	56.67	broken	serious
Hampyung clay	2.42	13.17	30	34.84	"	"
Oh-bu "	2.55	16.63	33	67.71	"	undeformed
Kyochon "	2.33	10.83	28	10.26	"	serious
Kibushi "	2.34	25.00	32	68.09	micro cracked	undeformed
Hong Kong "	2.64	23.37	31	67.21	cracked	"

\* A: pink, B: white

1300°C에서 이들의 熱間壓縮強度를 측정하였으며 이 實驗에서 熱衝擊性 및 變形 현상도 같이 관찰하였다. 이때 사용한 試片은 지름 28.6mm 높이 50.0mm의 圓柱形이며 수분 8%를 添加하여 200kg/cm<sup>2</sup>로 加壓하여 成形하였다. 이들의 化學組成과 物理的 性質을 Table 5 및 Table 6에 각각 나타내었다.

2-2-2. 粒度調節

合成한 cordierite와 kaolin chamotte를 각각 Jaw crusher에서 粉碎하여 粒度를 調節하였는데 粗粒; 6~14 mesh, 中粒; 14~65 mech 및 微粒; 65 mech 이하로 하였다. 이때 粒度의 分布는 Table 7과 같이 2개 群으로 나누었다. A群은 池應業<sup>(24)</sup>의 연구모형에 따라 調合하였고 B群은 輸入 cordierite-mullite setter용 坯土를 KS L 4003에 의하여 screen analysis한 結果에 따라 調合하였다.

Table 7. Particle size distribution for two types of refractory setter.

Group	Mesh (mm)	Weight (%)
A <sup>*</sup> : C1	6~ 9 (3.327~1.980)	25
C2	9~ 14 (1.981~1.168)	25
M1	14~ 32 (1.168~0.495)	12.5
M2	32~ 65 (0.495~0.208)	12.5
F1	65~150 (0.208~0.104)	12.5
F2	-150~ (0.104~0.000)	12.5
B <sup>*</sup> : C1	6~9	"
C2	9~ 14	"
M1	14~ 32	"
M2	32~ 65	"
F1	65~150	"
F2	-150~	"

A<sup>\*</sup>: A group, B<sup>\*</sup>: group

2-2-3. 豫備實驗

Table 7과 같이 粉碎物은 粘度調節하여 110°C에서 乾燥한 후 cordierite, kaolin chamotte 및 clay 등의 原料를 Table 8와 같은 비율로 調合하여 Lab. Mixer에서 1차 混合한 후 수분 10%를 添加하여 다시 충분히 混合한 후 加壓成形하였다. 이때 成形壓은 200kg/cm<sup>2</sup>으로 하였고 試片의 크기는 지름 28.6mm 높이 50mm로 하여 110°C에서 1시간 유지하였고 자연냉각 시킨 후 Desiccator에 넣어 保管하였다. 이때 binder로 사용한 粘

土는 熱間強度가 비교적 낮은 枝村粘土를 택하여 豫備實驗을 하였다. 이들 試片의 調合比를 Table 8에 나타내었다.

각 試片에 대하여 KS L 4004에 의하여 積分線收縮率, KS L 3114에 의하여 氣孔率, 吸水率, 겉보기比重 및 부피비등을 각각 측정하였고 冷間壓縮強度는 KS L 3115에 의하여 측정하였으며 또 熱間壓縮強度는 Thermo Lab. dilatometer의 Globar 電氣爐를 1500°C로 고정시킨후 試片을 爐內의 Post에 올려놓고 15분간 유지시킨다음 측정하였다. 1種의 試片에 대하여 3개씩 행하여 평균하였다. 본 豫備實驗에서 제조된 각 試片에 대하여 측정할 여러가지 物理的性質은 Table 10과 같다.

2-2-4. 本實驗

豫備實驗에서 비교적 熱間強度가 큰 試片은 A-1, B-1, B-2, B-3, B-5 및 B-11 등이었으며 이들 試片에서 사용했던 枝村粘土 대신 威平粘土, 梧釜粘土, 木節粘土, 홍릉粘土, 河東 kaolin (A.B), 結成 talc, cordierite 微粒 및 kaolin chamotte 微粒등을 添加하여 豫備實驗과 동일한 조건과 방법으로 本實驗을 행하였다. 이들 試片의 調合比를 Table 9에 나타내었다.

Table 8. Batch compositions of cordierite-mullite setters in preliminary experiment (I).

Composition Specimen (%)	Composition (%)			
	Cordierite	Kaolin chamotte	Broken sagger	Kyochon clay
A-1	35	30	—	35
A-2	35	25	—	40
A-3	40	35	—	25
A-4	40	30	—	30
B-1	30	45	—	25
B-2	30	40	—	30
B-3	30	25	—	45
B-4	35	30	—	35
B-5	35	25	—	40
B-6	35	20	—	45
B-7	35	15	15	35
B-8	35	—	30	35
B-9	40	40	—	20
B-10	40	35	—	25
B-11	40	30	—	30
B-12	45	35	—	20
B-13	45	30	—	35
B-14	65	—	—	35
B-15	55	—	—	45

Notation A and B represent the type of particle size distribution

Table 9. Batch compositions of cordierite-mullite setters in the final experiment (II).

Composition (%) Specimen	Cordierite	Kaolin chamotte	Clay*	Cordierite fine particle	Chamotte fine particle	Kaolin-(A, B)	Talc
A-1-0	35	30	35(D)	—	—	—	—
A-1-1	35	30	30(D)	2.5	2.5	—	—
A-1-2	35	30	25(D)	5.0	5.0	—	—
A-1-3	35	30	20(D)	7.5	7.5	—	—
A-1-4	35	30	15(D)	10	10	—	—
B-1-0	30	45	25(D)	—	—	—	—
B-2-0	30	40	30(D)	—	—	—	—
B-3-0	30	25	45(D)	—	—	—	—
B-5-0	35	25	40(D)	—	—	—	—
B-5-1	35	25	10(D)	—	10	10(B)	10
B-5-2	35	25	10(D)	10	10	10(A)	—
B-5-3	35	25	10(D)	10	10	10(B)	—
B-5-4	35	25	10(B) 10(D)	10	—	—	10
B-5-5	35	25	10(B) 10(D)	10	10	—	—
B-5-6	35	25	20(A)	5.0	5.0	10(A)	—
B-5-7	35	25	30(D)	5.0	5.0	—	—
B-5-8	35	25	30(E)	5.0	5.0	—	—
B-5-11	40	30	30(D)	—	—	—	—

Note\*: A; Hampyung, B; Oh-bu. D; Kibushi, E; Hong Kong clay and kaolin(A); pink, kaolins(B); white.

### 2-2-5. 外國産과의 比較實驗

本實驗에서 비교적 熱間壓縮強度가 큰 8種의 試片을 선택하여 輸入品 및 國産品の cordierite-mullite 質 耐火匣 坯土를 수집하여 本實驗에서 행한 동일한 조건과 방법으로 試片을 제조하여 1300°C에서 각각 熱間強度를 측정하였고, KS L 3116에 의하여 20°C~900°C에서 線熱膨率을 측정하였고, DIN 1068에 의하여 Spalling 試驗을 22회 반복한후 試片을 700°C에서 재燒成하여 다시 熱間強度를 측정하였는데 그 결과를 Table 12에 나타내었다.

### 2-2-6. 實驗結果 및 考察(II)

#### 1) 原料

Table 6에서 보여준것과 같이 國産粘土質은 耐火度 및 熱衝擊抵抗性이 낮았고 熱間強度 測定時 급격한 變形現상을 나타내었는데 그중에서 梧釜粘土는 熱間強度는 비교적 양호한 편이었으나 熱衝擊에 弱한것이 흠이었고 kaolin類는 熱間強度는 비교적 양호한 편이나 약간의 變形現상을 나타내었다.

#### 2) 豫備實驗

Table 10에서 보여주는 것과같이 대체로 粘土의 함량이 증가할수록 氣孔率이 감소하였고 또한 熱間強度가

증가하는 경향을 나타내었다. 또 cordierite와 粘土만을 調合한 試片의 경우 氣孔率은 줄어들었고 冷間強度는 비교적 높은편이었으나 熱間強度는 현저히 낮았다. 또 같은 조건에서 kaolin chamotte 대신 耐火匣을 사용했을 경우 熱間에서의 強度는 현저하게 낮은 값을 나타내었다. cordierite-mullite 質 setter 제조의 豫備實驗에서 비교적 熱間強度가 큰 試片은 A-1, B-1~B-6 및 B-11 등이었다.

#### 3) 本實驗

Table 11 및 Fig. 5에서 보여주는 바와같이 木節粘土量이 증가함에 따라 熱間強度는 직선적으로 증가함을 나타내었고 이같은 校村粘土를 사용한 試片들의 것보다 훨씬 큰 값들이었다. 또한 粘土量을 30% 이상 사용한 試片들에서는 육안으로 판별할수있는 micro crack<sup>27)</sup>이 많이 나타났었는데 이것은 점토량을 줄이는 반면 cordierite 및 kaolin chamotte의 微粒으로 대체함으로써 micro crack와 收縮率은 현저히 감소시킬수 있었으나 熱間強度는 감소하였다. 잘분포된 micro crack은 structural flexibility의 증가로 인하여 熱衝擊抵抗性이 증가한다고 보고된바<sup>27)</sup> 있으나 이문제는 좀더 연구할 과제라고 생각된다. 또 kaolin(A, B) 및 結

Table 10. Characteristics of cordierite-mullite setters(I).

Characteristics Specimen	Linear shrinkage (%)	Apparent porosity (%)	Absorption (%)	Apparent sp. gr.	Bulk sp. gr.	Compress. strength (kg/cm <sup>2</sup> )	Hot strength (kg/cm <sup>2</sup> )
A-1	1.14	20.91	10.49	2.52	1.99	147.74	16.95
A-2	1.17	21.14	10.68	2.46	1.95	284.25	8.59
A-3	0.28	21.56	11.04	2.49	1.95	117.65	7.85
A-4	0.70	18.40	11.80	2.47	1.91	232.43	9.56
B-1	0.45	23.99	12.59	2.40	1.91	217.80	18.70
B-2	0.70	27.27	14.28	2.65	1.91	281.20	18.25
B-3	1.77	28.18	15.14	2.59	1.86	211.35	22.39
B-4	1.26	20.14	10.22	2.47	1.97	224.45	18.35
B-5	1.43	21.68	12.91	2.47	1.93	350.61	20.46
B-6	1.86	19.09	10.20	2.43	1.95	180.52	20.45
B-7	1.37	25.16	13.45	2.50	1.87	290.89	13.43
B-8	1.26	25.14	13.75	2.44	1.83	285.90	12.03
B-9	0.34	27.32	15.11	2.50	1.81	197.70	9.14
B-10	0.68	24.42	12.91	2.50	1.89	282.30	10.97
B-11	0.62	23.04	11.75	2.52	1.85	266.28	16.52
B-12	0.17	27.86	15.11	2.56	1.84	230.10	8.86
B-13	0.70	22.60	9.20	2.44	1.99	225.32	8.45
B-14	1.72	22.63	11.65	2.43	1.89	460.35	9.27
B-15	1.61	19.14	10.14	2.36	1.91	392.09	10.62

Table 11. Characteristics of cordierite-mullite setters(II).

Characteristics Specimen	Linear shrinkage (%)	Apparent porosity (%)	Absorption (%)	Apparent sp. gr.	Bulk sp. gr.	Hot strength (kg/cm <sup>2</sup> )
A-1-0*	1.24	25.65	13.65	2.53	1.88	63.70
A-1-1	1.24	24.30	12.40	2.59	1.95	46.12
A-1-2	0.70	22.20	10.95	2.53	1.98	39.79
A-1-3	0.88	26.16	13.72	2.58	1.90	34.17
A-1-4	0.18	23.70	12.30	2.52	1.92	27.14
B-1-0	0.44	29.20	16.05	2.56	1.81	35.57
B-2-0	0.88	26.30	13.95	2.56	1.88	60.00
B-3-0*	2.14	28.10	15.20	2.58	1.85	66.68
B-5-0*	1.87	25.15	13.40	2.51	1.88	64.75
B-5-1**	1.26	26.31	14.11	2.53	1.68	24.29
B-5-2	1.23	26.76	14.24	2.59	1.88	32.73
B-5-3	1.06	24.91	13.24	2.50	1.88	24.64
B-5-4**	1.06	26.73	13.91	2.62	1.82	10.50
B-5-5	0.88	25.49	13.40	2.55	1.90	31.32
B-5-6**	1.24	22.80	11.70	2.52	1.95	25.73
B-5-7	1.06	24.70	12.95	2.54	1.91	46.36
B-5-8	1.24	21.25	10.60	2.53	1.99	38.56
B-11-0	0.88	25.45	13.45	2.53	1.89	50.87

Note: \*micro cracked, \*\*deformed.

Table 12. Properties comparison of various cordierite-mullite setters.

Characteristics Products	Linear shrinkage (%)	Apparent porosity (%)	Absorption (%)	Apparent sp. gr.	Bulk sp. gr.	Hot strength (kg/cm <sup>2</sup> )	Spalling wt. loss (%)	Hot streng after spalling test (kg/cm <sup>2</sup> )	Linear thermal expansion (%)
Japanese (A)	0.80	24.05	12.59	2.52	1.84	40.50	4.18	35.58	0.19
" (B)	1.08	27.42	14.82	2.54	1.85	26.44	4.70	25.74	0.22
" (C)	0.55	27.27	14.79	2.53	1.84	25.73	2.85	19.76	0.22
" (D)	1.70	27.70	13.20	2.50	1.81	41.90	0.30	38.04	0.20
Korean	1.54	29.03	15.56	2.63	1.88	21.83	2.52	18.72	0.28
A-1-0	1.24	25.65	13.65	2.53	1.88	63.70	3.45	57.91	0.21
A-1-1	1.24	24.30	12.40	2.59	1.95	46.12	0.52	44.35	0.22
A-1-2	0.70	22.20	10.95	2.53	1.98	39.79	0.80	38.89	0.23
A-1-3	0.88	26.16	13.72	2.58	1.90	43.17	1.69	33.02	0.24
A-1-4	0.18	23.70	12.30	2.52	1.92	27.14	4.03	21.14	0.23
B-2-0	0.88	26.30	13.95	2.56	1.88	60.00	0.73	55.10	0.26
B-5-2	1.23	26.76	14.24	2.59	1.88	32.73	4.07	30.28	0.22
B-5-7	1.06	24.70	12.95	2.54	1.91	46.36	0.95	41.62	0.22

城 talc 를 添加하였을 경우 micro crack 은 없었으나 비교적 낮은 熱間強度를 나타내었다.

4) 外國産과의 比較

Table 12 에서 보다싶이 spalling 試驗은 煨후의 試片의 熱間強度는 spalling 試驗을 하기 前의 試片의 熱間強度보다 약 4~7% 감소하였고 spalling 試驗이 끝난 試片을 육안으로 관찰한 결과 spalling 試驗전에 피크하게 볼수있었던 micro crack (粘土층이 많은 試片)과 成形할때 생겼던 표면의 흠집이 더욱 뚜렷하게 나타났

다. Table 12 과 Fig. 6 및 Fig. 7 에서 볼수 있는 바와같이 線熱膨脹率은 國産品 試片과 본 연구의 B-2-0 를 제외하고는 거의 같은 값을 나타내고 있다. 試片 B-2-0 는 다른 試片에 비하여 kaolin chamotte 함량이 10%(wt) 더 많은 것에 그 原因이 있다고 생각된다.

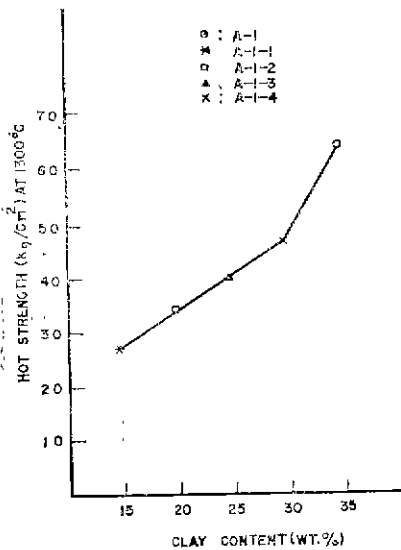


Fig. 5. Clay content vs. hot strength.

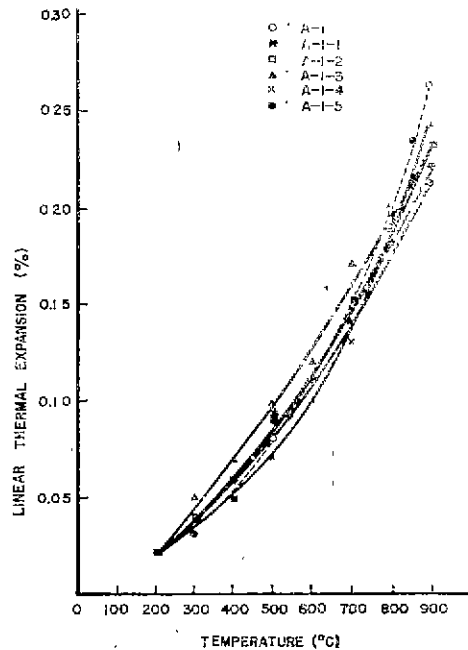


Fig. 6. Comparison of linear thermal expansion of cordierite-mullite setters.

당 하였다.

本 연구를 수행할수 있도록 연구비를 조성해준 仁荷大學校 附設 産業科學技術研究所와 原料를 供給해준 諸位에게 謝意를 표한다.

#### References

- 1) Felix Singer and W. M. Cohn: "New ceramic bodies composition and expansion on behavior," I, II, *Ber. deut. keram. Ges.* 10(6) 269-284(1929); *Ceram. Abstract*, 8(11) 824(1929).
- 2) R. F. Geller and Herbert Insley: "Thermal expansion of some silicate of elements in Group II and periodic system," *Bur. Standards J. Research*, 9(1) 35-46 (1932) Ro456; *Ceram. Abstracts II*, (10)542(1932).
- 3) R. J. Beals and R. L. Cooke: "Low expansion cordierite porcelain," *J. Am. Ceram. Soc.*, 35(2) 53-57 (1952).
- 4) 池應業·梁之鈺·辛雨承: "耐火匣製造에 관한 研究," *窯業會誌*, 6(1) 107-117(1963).
- 5) R. S. Lamar: "Development of cordierite bodies with sierralite, New ceramic materials". *J. Am. Ceram. Soc.*, 32(2) 65-71(1949).
- 6) Shohei Niwa: "Forsterite and cordierite porcelain made form, the electrically fused dunite", *J. Ceram. Assoc. Japan*, 69(7) 224-229(1961).
- 7) R. S. Lamar and Warner. "Reaction and fired property studies of cordierite composition", *J. Am. Ceram. Soc.*, 35(2) 53-57(1952).
- 8) 李端雨, 申永祚, 朴熙諒, 韓基政: "cordierite 生成과 그것에 미치는  $Fe_2O_3$ 의 영향", *窯業會誌*, 10(1) 61-65(1973).
- 9) L. E. Thness: "Vitrified cordierite bodies". *J. Am. Ceram. Soc.*, 26(3) 99-102(1943).
- 10) Charles A. Sorrell: "Reaction sequence and structural change in cordierite refractories", *J. Am. Ceram. Soc.*, 43(7) 337-343(1960).
- 11) F. A. Hummel and H. W. Ried: "Thermal expansion of some in the system  $MgO-Al_2O_3-SiO_2$ ", *J. Am. Ceram. Soc.*, 34(10) 320-321(1951).
- 12) Bahngrell W. Brown: "Preliminary investigation of wyoming cordierite", *Am Ceram. Soc., Bull.* 27 (11) 443-446(1948).
- 13) M. D. Karhanavala and F. A. Hummel: "The polymorphism of cordierite", *J. Am. Ceram. Soc.*, 36

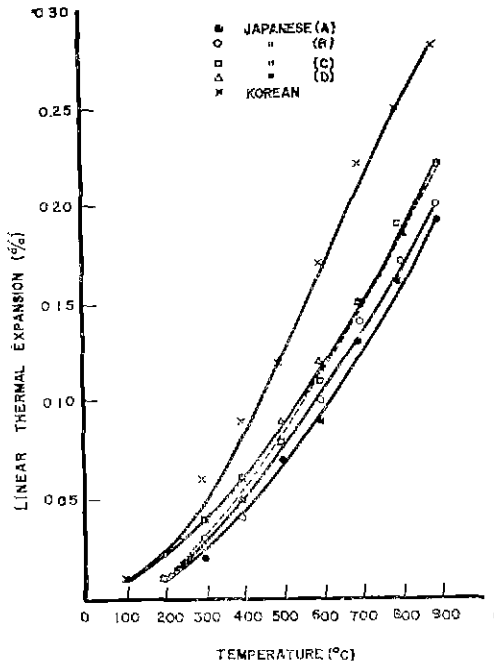


Fig. 7. Comparison of linear thermal expansion of various cordierite-mullite setters.

### 3. 結 論

#### 1. Cordierite 合成

1) 공임용 alumina를 添加하지않고 국산原料만으로 cordierite를 合成할수 있었다.

2) 本實驗에서 實驗한 素地の 配合 범위에서 alumina 함량을 약 10% 증가시키면 燒成온도는 25°C 정도 증가하였다.

3) X-ray 回折分析으로 cordierite 合成에 가장 적합한 組成은 結晶 talc 14%, 海水 magnesia clinker 5.5% 河東 kaolin(pink) 80 5% 이었으며 最適 燒成條件은 1375°C에서 2시간 유지하는 것 이었다.

#### 2. Cordierite-mullite 耐火匣 製造

1) Mosaic tile 용 耐火匣은 粒度分布가 粗粒(6~14 mesh) 50%, 中粒(14~65mesh) 25% 및 微粒(65mesh 이하) 25% 일때 比較的 양호한 物理的 特性을 나타내었다.

2) 素地組成을 cordierite 30~40%로 한것이 熱間強度 및 耐 spalling 性에서 가장좋은 特性을 나타내었다.

3) 국산粘土는 耐火度가 낮을뿐만 아니라 熱衝擊性 및 熱間強度가 낮아 耐火匣用 粘結性 粘土로서는 부적

- (12) 389-392(1953).
- 14) Kenya Hamano, Shinichi Tamura & Miyuki Narita: "Wettability of the melts of  $MgO-Al_2O_3-SiO_2$  system and some interfacial phenomena", 耐火物 (Japan), **24**, 492-500(1972).
- 15) Kenneth A. Gebler and Harriet R. Wisely: "Dense cordierite bodies" *J. Am. Ceram. Soc.*, **32**(5) 162-165 (1949).
- 16) Wilfrid R. Foster: "Synthetic sapphirine and its stability relation in the system  $MgO-Al_2O_3-SiO_2$ ", *J. Am. Ceram. Soc.*, **33**(3) 73-84(1950).
- 17) Kozo Sugiura: "Studies on cordierite porcelain(1)", *J. Ceramic Ass. Japan*, **59**, 323-328(1951).
- 18) Yoichi Shiraki: "Cordierite with chlorite", *J. Ceramic Ass. Japan*, **61**(688) 532-536(1953).
- 19) Kozo Sugiura and Yasuhiro Kuroda: "Thermal expansion synthetic cordierite", *J. Ceramic Ass. Japan*, **63**(715) 579-582(1955).
- 20) Isao Uei, Keikichi Inoue and Masao Fukui: "Sintering and crystallization processes of the glass powder having cordierite composition", *J. Ceramic Ass. Japan*, **74**(10) 325-335(1966).
- 21) G. V. Gibbs: "The polymorphism of cordierite", I: The crystal structure of low cordierite", *Am. Mineralogist*, **51**(7) 1068-1087(1966).
- 22) 李鍾根, 金煥: "cordierite의 合成 및 利用에 관한 연구", 窯業會誌, **6**(1) 79-100(1969).
- 23) Felix Singer and Sonja S. Singer: "Industrial Ceramics", p. 482 Chemical Publishing Co., N.Y. (1963).
- 24) 池應業, 梁之鉉, 池亨健: "Mullite質 耐火匣 製造에 관한 연구", 窯業會誌, **6**(2) 92-99(1969).
- 25) W. D. Kingery: "Introduction to ceramics", p. 473 John Wiley & Sons. Inc. New York(1963).
- 26) S. Shiraishi: "Physico-chemical characteristics of Korean kaolin chamotte", 耐火物 (Japan), **7**(24) 333-335(1972).
- 27) F. H. Norton: "Microstress", Refractories, p. 261, 4th ed. McGraw Hill book Co., New York (1968).
- 28) 池應業, 韓基成, 崔相旭: "矽石粉碎物의 充填에 관한 연구", 窯業會誌, **1**(3) 101-108(1973).